

УДК 539.142

ІЗУЧЕННІ ІЗОМЕРНИХ ОТНОШЕНЬ НА ЯДРАХ-ПРОДУКТАХ ФОТОДЕЛЕНИЯ ^{238}U И ^{237}Np

О. А. Бесшепко¹, И. Н. Вишневский², В. А. Желтоножский², И. Н. Каденко¹,
В. М. Мазур³, В. А. Плюйко¹, Н. В. Стрильчук²

¹Національний університет імені Тараса Шевченка, Київ

²Інститут ядерних ісследований НАН України, Київ

³Інститут електронної фізики НАН України, Ужгород

Экспериментально определены изомерные отношения для ядер ^{84}Br , ^{129}Sb , ^{130}Sb , $^{132,133}\text{Te}$, ^{132}Sb , ^{134}I , ^{135}Xe , образованных в результате деления ^{238}U и ^{237}Np гамма-квантами тормозного спектра микротрона М-30 с максимальной энергией 16 МэВ. Рассчитаны средние угловые моменты ядер-продуктов деления с использованием кода EMPIRE II.

Введение

Исследования угловых моментов осколков деления дают полезную информацию о конфигурации делящейся системы вблизи точки разрыва и, следовательно, обеспечивают лучшее понимание процесса деления [1]. Ранее был развит ряд экспериментальных методик, дающих возможность получить информацию о первичных угловых моментах осколков деления для различных делящихся систем – измерение анизотропии [2] и количества испущенных гамма-квантов [3], заселение ротационных полос четно-четных осколков деления [4], изучение изомерных отношений [5].

Известно, что при делении большинство осколков образуется с намного более высокими угловыми моментами, чем спины делящихся ядер [1, 6]. В работах [7, 8] было показано, что для реакции $^{235}\text{U}(n_{th}, f)$ начальные угловые моменты осколков деления сильно зависят от энергии возбуждения этих осколков. Для спонтанного деления ^{252}Cf наблюдается более слабая зависимость начальных спинов от кинетической энергии осколков.

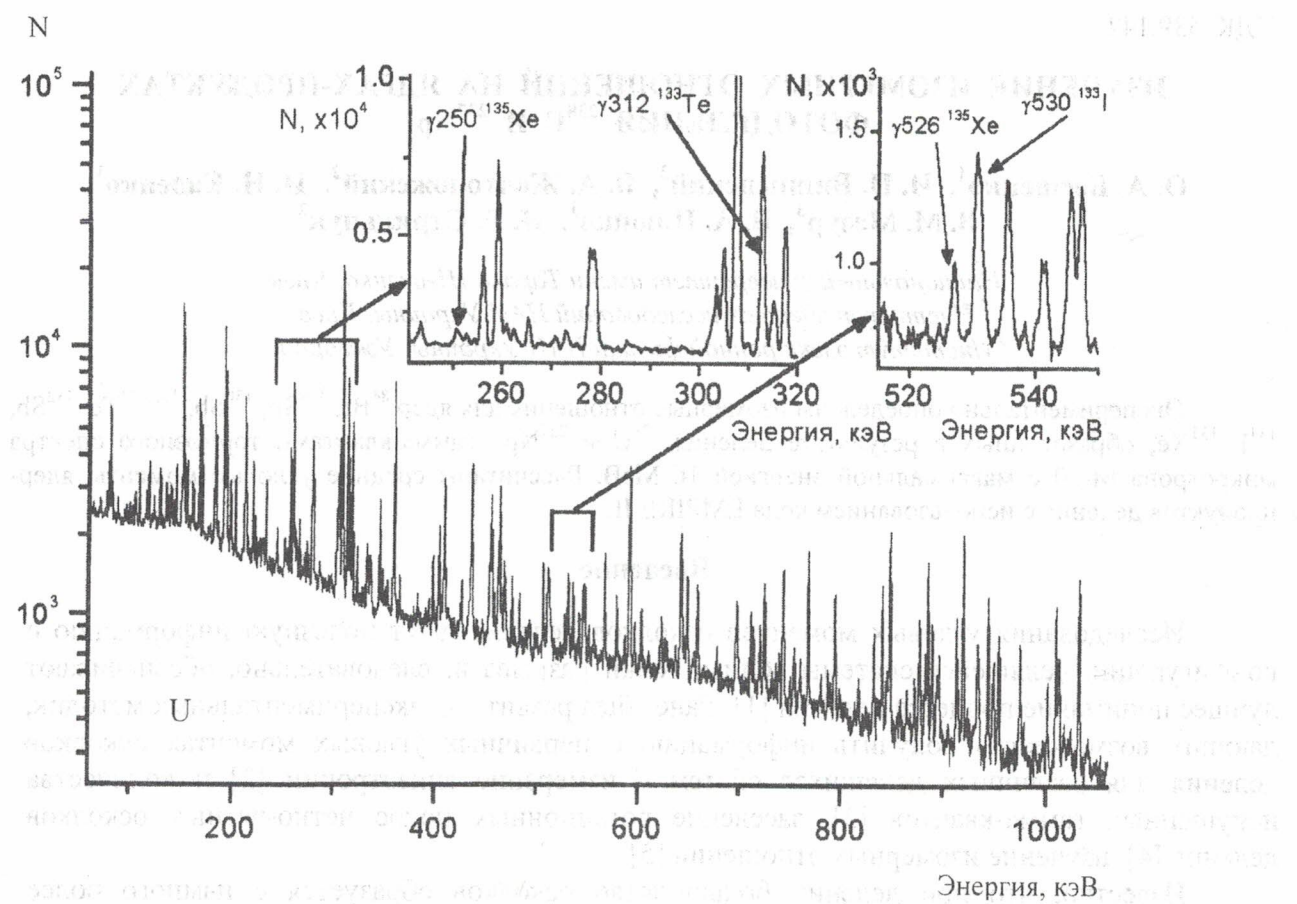
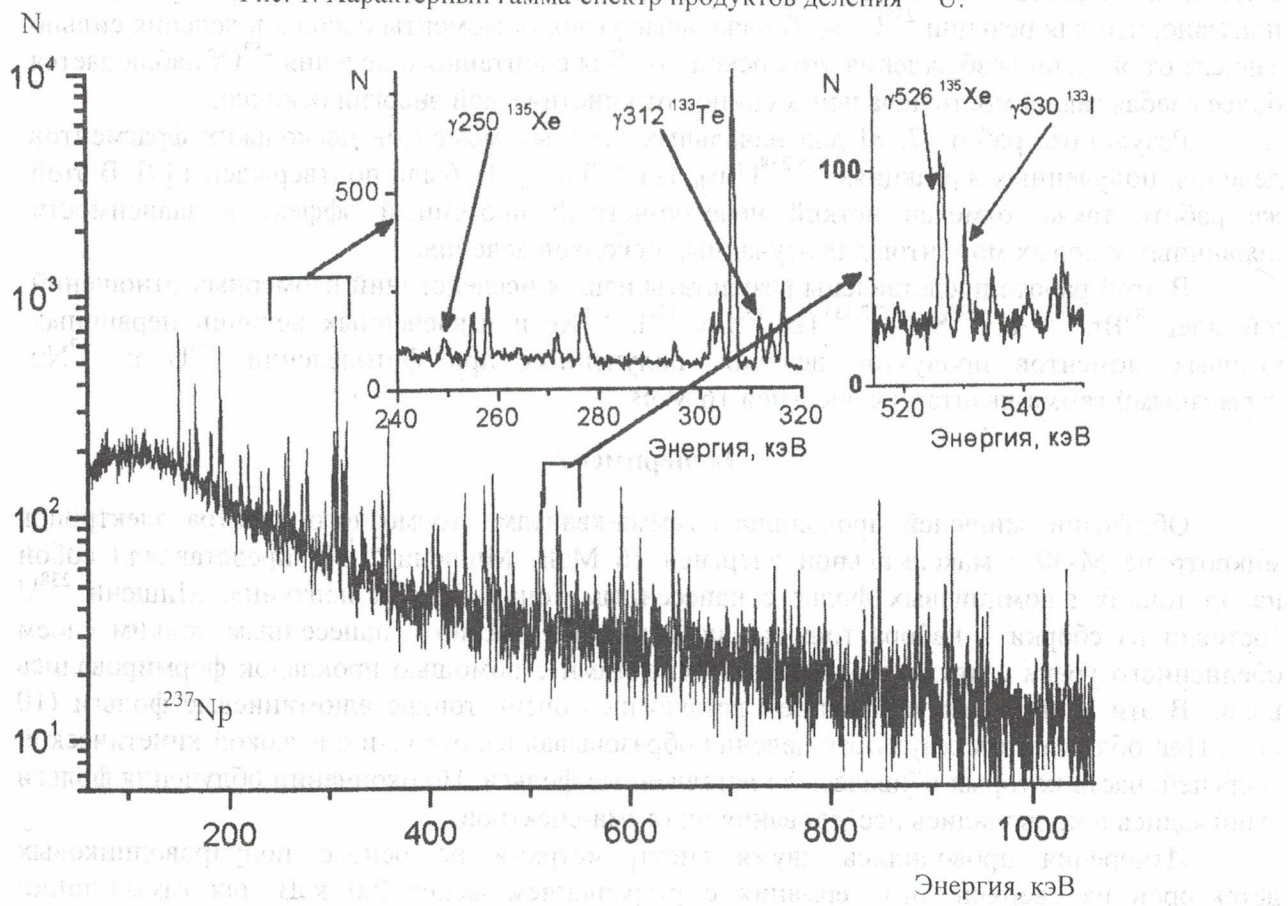
Результаты работ [7, 8] для начальных угловых моментов нескольких фрагментов деления, полученных в реакциях $^{235,238}\text{U}(n_{th}, f)$ и $^{239}\text{Pu}(n_{th}, f)$, были подтверждены [9]. В этой же работе также отмечен четкий нечетно-четный протонный эффект в зависимости первичных угловых моментов для изучаемых осколков деления.

В этой работе представлены результаты наших исследований изомерных отношений для ядер ^{84}Br , ^{129}Sb , ^{130}Sb , $^{132,133}\text{Te}$, ^{132}Sb , ^{134}I , ^{135}Xe и извлеченных величин первичных угловых моментов продуктов деления, полученных при фотodelении ^{238}U и ^{237}Np тормозными гамма-квантами с энергией 16 МэВ.

Эксперимент

Облучение мишеней проводилось гамма-квантами тормозного спектра электронов микротрона М-30 с максимальной энергией 16 МэВ. Мишени ^{237}Np представляли собой набор тонких алюминиевых фольг с нанесенным тонким слоем нептуния. Мишени ^{238}U состояли из сборки – набора тонких алюминиевых пластин с нанесенным тонким слоем обедненного урана с двух сторон. Между фольгами с помощью прокладок формировались щели. В эти щели перед облучением вставлялись очень тонкие алюминиевые фольги (10 шт.). При облучении в результате деления образовывались осколки с высокой кинетической энергией, часть которых вбивалась во вставленные фольги. По окончании облучения фольги вынимались и проводились исследования их гамма-спектров.

Измерения проводились двумя спектрометрами на основе полупроводниковых детекторов из сверхчистого германия с разрешением менее 2,0 кэВ для гамма-линии 1330 кэВ ^{60}Co . Для одного из детекторов измерение представляло собой серию следующих один за другим наборов спектров. Время набора изменялось от 1 мин в начале измерения до

Рис. 1. Характерний гамма-спектр продуктів деління ^{238}U .Рис. 2. Характерний гамма-спектр продуктів деління ^{237}Np .

10 мин в конце. Другой спектрометр работал в режиме двухмерного набора – с приходом каждого импульса с детектора фиксировались его амплитуда и время появления. Применение такой методики позволяет упростить анализ спектров и существенно повысить надежность принятия решения по сопоставлению гамма-линий радиоактивному изотопу. Для выбора оптимальных условий для разных периодов полураспада варьировались времена облучения и выдержки перед измерением.

На рис. 1 и 2 приведены примеры гамма-спектров продуктов деления ^{238}U и ^{237}Np соответственно и некоторые гамма-линии, использованные для определения изомерных отношений. Хорошо видно, что спектры достаточно сложные, состоящие из нескольких сотен линий. Для обработки таких спектров была разработана специальная программа Winspectrum, которая позволяет проводить обработку спектров в автоматическом и ручном режимах.

Экспериментальные значения изомерных отношений вычислялись с учетом вклада от бета-распада изобарных ядер в выходы исследуемых изотопов. Для этого для каждой цепочки были получены соответствующие системы дифференциальных уравнений. Решение систем было выполнено численно, детали приведены в [10].

Информация о гамма-переходах, которые использовались при расчетах величин $\sigma_{\text{H}}/\sigma_{\text{L}}$, их абсолютные выходы и характеристики ядер, которые необходимы для расчетов изомерных отношений, приведены на рис. 3 [11].

<p>0^+ 3.1 m ^{84}Se $\beta^- \rightarrow \gamma 408 \text{ кэВ} 100\%$</p> <p>$34^+$ 6.0 m (5^-) 320 31.80 m^2 $0\beta^- \rightarrow \gamma 1424 \text{ кэВ} 100\%$</p> <p>$34^+$ 3.72 m (5^-) 1946.88 130^+ 1.7 m $\beta^- \rightarrow \gamma 144.9 \text{ кэВ} 100\%$</p> <p>$34^+$ 3.72 m (5^-) 130Sn $\beta^- \rightarrow \gamma 192 \text{ кэВ} 70\%$</p> <p>$34^+$ 6.3 m (5^+) 0+x $39.5 \text{ m} (8^-)$ $0\beta^- \rightarrow \gamma 839 \text{ кэВ} 100\%$</p> <p>$34^+$ 39.7 s 132Sn $\beta^- \rightarrow \gamma 247 \text{ кэВ} 43\%$</p> <p>$34^+$ 4.10 m (8^-) 0+x $2.79 \text{ m} (4^+)$ $0\beta^- \rightarrow \gamma 697 \text{ кэВ} 100\%$</p> <p>$34^+$ 52.6 m (4^+) $0\beta^- \rightarrow \gamma 727 \text{ кэВ} 79\%$</p> <p>$0^+$ 41.8 m 134Te $\beta^- \rightarrow \gamma 767 \text{ кэВ} 29\%$</p> <p>$34^+$ 3.69 m (8^-) 316.3 $52.6 \text{ m} (4^+)$ $0\beta^- \rightarrow \gamma 847 \text{ кэВ} 95\%$</p>	<p>(11/2-) 35.2 129Sn $\beta^- \rightarrow \gamma 1161 \text{ кэВ} 56\%$</p> <p>$2.2 \text{ m} (3/2^+) \downarrow 0\beta^- \rightarrow \gamma 645 \text{ кэВ} 100\%$</p> <p>$17.7 \text{ m} (19/2-) 1851.05$ $4.40 \text{ h} (7/2^+) \downarrow 0\beta^- \rightarrow \gamma 760 \text{ кэВ} 60\%$</p> <p>$129\text{Sb}$ $\beta^- \rightarrow \gamma 812 \text{ кэВ} 43\%$</p> <p>(7/2+) 23.03 m 131Sb $\beta^- \rightarrow \gamma 1943 \text{ кэВ} 47\%$</p> <p>$30 \text{ h} (11/2-) 182.250$ $25.0 \text{ m} (3/2^+) \downarrow 0\beta^- \rightarrow \gamma 773 \text{ кэВ} 51\%$</p> <p>$131\text{Te}$ $\beta^- \rightarrow \gamma 452 \text{ кэВ} 18\%$</p> <p>(7/2+) 2.5 m 133Sb $\beta^- \rightarrow \gamma 1096 \text{ кэВ} 43\%$</p> <p>$55.4 \text{ m} (11/2-) 334.26$ $12.5 \text{ m} (3/2^+) \downarrow 0\beta^- \rightarrow \gamma 312 \text{ кэВ} 73\%$</p> <p>$133\text{Te}$ $\beta^- \rightarrow \gamma 312 \text{ кэВ} 63\%$</p> <p>$7/2^+ 6.57 \text{ h}$ 135I $\beta^- \rightarrow \gamma 1280 \text{ кэВ} 29\%$</p> <p>$15.29 \text{ m} (11/2-) 526.551$ $9.14 \text{ h} (3/2^+) \downarrow 0\beta^- \rightarrow \gamma 526 \text{ кэВ} 81\%$</p> <p>$135\text{Xe}$ $\beta^- \rightarrow \gamma 250 \text{ кэВ} 90\%$</p>
--	--

Рис. 3. Характеристики ядер, использованные для расчетов изомерных отношений.

Полученные экспериментальные значения изомерных отношений приведены в таблице.

Изомерные отношения и средние угловые моменты осколков фотоделения

Ядро-мишень	Изомер – продукт деления	Изомерное отношение σ_H/σ_L	Средний угловой момент $\langle J \rangle (\hbar)$
^{238}U	$^{84\text{m},\text{g}}\text{Br}$	$\sigma(5^-)/\sigma(2^-) = 0,44 \pm 0,04$	$4,4 \pm 0,2$
^{238}U	$^{129\text{m},\text{g}}\text{Sb}$	$\sigma(19/2^-)/\sigma(7/2^+) = 0,2 \pm 0,02$	$12,7 \pm 0,7$
^{238}U	$^{130\text{m},\text{g}}\text{Sb}$	$\sigma(8^-)/\sigma(5^+) = 1,2 \pm 0,2$	$6,8 \pm 0,2$
^{238}U	$^{131\text{m},\text{g}}\text{Te}$	$\sigma(11/2^-)/\sigma(3/2^+) = 1,38 \pm 0,21$	$5,2 \pm 0,4$
^{238}U	$^{132\text{m},\text{g}}\text{Sb}$	$\sigma(8^-)/\sigma(4^+) = 0,79 \pm 0,13$	$7,4 \pm 0,4$
^{238}U	$^{133\text{m},\text{g}}\text{Te}$	$\sigma(11/2^-)/\sigma(3/2^+) = 1,44 \pm 0,15$	$6,8 \pm 0,3$
^{238}U	$^{134\text{m},\text{g}}\text{I}$	$\sigma(8^-)/\sigma(4^+) = 0,67 \pm 0,13$	$7,0 \pm 0,5$
^{238}U	$^{135\text{m},\text{g}}\text{Xe}$	$\sigma(11/2^-)/\sigma(3/2^+) = 0,22 \pm 0,03$	$2,8 \pm 0,15$
^{237}Np	$^{134\text{m},\text{g}}\text{I}$	$\sigma(8^-)/\sigma(4^+) = 2,4 \pm 0,2$	$11,0 \pm 0,4$
^{237}Np	$^{135\text{m},\text{g}}\text{Xe}$	$\sigma(11/2^-)/\sigma(3/2^+) = 0,61 \pm 0,06$	$4,2 \pm 0,2$

Обсуждение

Для расчета средних угловых моментов осколков деления по экспериментально определенным значениям изомерных отношений использовался программный пакет EMPIRE II. Программный код был модифицирован и расширен, что позволило анализировать фотоядерные реакции [12], а также изучать зависимости изомерных отношений от спинов и энергий начальных возбужденных ядер.

Расчет изомерных отношений полностью автоматизирован. Для этого используются начальные заселенности уровней перед разрядкой гамма-каскадом ядра, оставшегося после вылета всех нейтронов. Далее разрядка уровней проводится с учетом схем распада, основанных на экспериментально определенных и оцененных данных. Эти данные в автоматическом режиме берутся из библиотеки RIPL-2 (специализированная библиотека для расчетов характеристик ядерных реакций, основанная на хорошо известной библиотеке ENSDF). Для уровней ядра (отличных от основного) со временем жизни больше заданного проводится суммирование всех попаданий ядра в это состояние с блокированием дальнейшего продолжения каскада. Далее подсчитывается отношение заселенностей изомерного и основного уровней.

Также введена возможность изучать распад возбужденного ядра с заданными спином, четностью, энергией возбуждения и сечением образования такого ядра. При этом используется статистический механизм, основанный на теории Хаузера - Фешбаха, учитывается конкуренция каналов вылета нейтронов и других легких частиц, деления ядра, рассматриваются полные гамма-каскады во всех остаточных ядрах. Это позволяет анализировать ядерно-физические характеристики не только первичных фрагментов после вылета нейтронов, но и осколков, образующихся сразу после процесса деления (до вылета из них всех нейтронов).

В EMPIRE II есть возможность выбирать различные модели распределений плотности уровней. В наших расчетах использовался подход, при котором распределения плотности в зависимости от четности равновероятны. Используется динамический подход, т.е. при больших спинах учитываются динамические эффекты, вибрационные и вращательные уровни также вносят вклад в плотность уровней.

Для получения однозначного соответствия между средним угловым моментом и изомерным отношением ядра-осколка после вылета всех нейтронов необходимо знание:

суммарной энергии возбуждения, передаваемой осколкам в процессе деления;

распределение этой энергии между осколками;

распределение средних угловых моментов и относительный выход осколков, из которых в результате последующего вылета нейтронов образуется ядро-изомер, используемое для определения изомерного отношения.

При расчетах предполагалось, что:

суммарная энергия возбуждения распределяется между осколками пропорционально их массам; в качестве распределения средних угловых моментов J выбираем либо дельта-функцию (т.е. все ядра образуются с одним спином), либо зависимость

$$P(J) \sim (2J+1) \cdot e^{-B^2} [4], \text{ где } B - \text{параметр распределения};$$

предполагаем, что выход осколков с равным зарядом Z и количеством нейтронов, различающимися на единицу примерно одинаков;

распределения по спинам и средние угловые моменты для таких осколков тоже одинаковы (для ядер с нечетным количеством нуклонов спин больше на $\frac{1}{2}$).

Расчет суммарной энергии возбуждения $\langle E^* \rangle$ согласно [13] следующий:

$$\text{если выделен ядерный осколок, то } \langle E^* \rangle = a \cdot T_m^2,$$

$$T_m = \frac{2}{3} \cdot \frac{\bar{\nu}_p}{a} + \left[\left(\frac{2}{3} \cdot \frac{\bar{\nu}_p}{a} \right)^2 + \frac{\langle S_n \rangle \cdot \langle E_\gamma^{tot} \rangle}{a} \right]^{1/2},$$

$$a = \frac{A}{7} \text{ (1/МэВ)},$$

$$\langle S_n \rangle \approx \langle E_\gamma^{tot} \rangle \approx 7,4 \text{ МэВ}.$$

Значения $\bar{\nu}_p$ рассчитывались по формуле $\bar{\nu}_p = 1,862 + 0,123 \cdot E$ для ^{238}U [14].

В формулах: $\bar{\nu}_p$ - средняя множественность по нейтронам; T_m - температура ядра; $\langle S_n \rangle$ - средняя энергия отделения нейтрона для осколков деления; $\langle E_\gamma^{tot} \rangle$ - средняя общая энергия, уносимая мгновенными гамма-квантами; a - параметр плотности уровней ядра; E - энергия налетающих гамма-квантов.

Для делящегося ядра ^{238}U ($A = 238$) и осколков с массовым числом в районе 130 начальная энергия возбуждения осколка $\langle E_{fr}^* \rangle \approx 23$ МэВ для энергии налетающих гамма-квантов 16 МэВ и $\langle E_{fr}^* \rangle \approx 16$ МэВ для припороговой энергии налетающих гамма-квантов 6 МэВ.

Расчеты зависимости изомерного отношения от спина показывают слабую зависимость от энергии возбуждения $\langle E^* \rangle$.

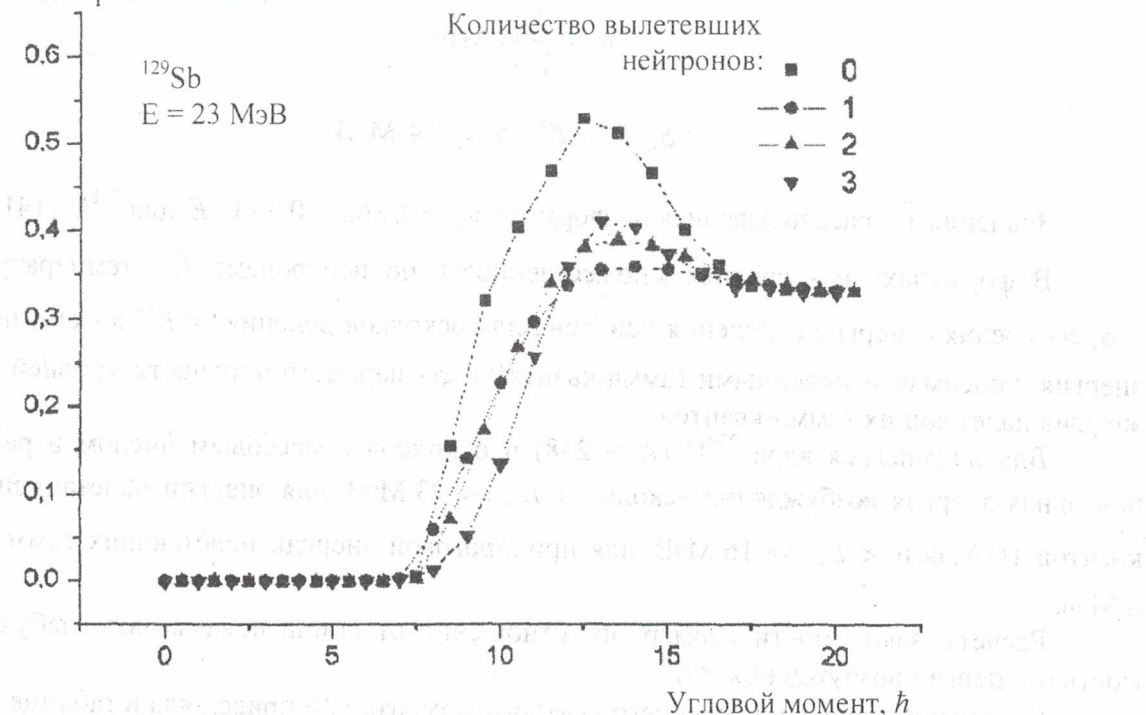
Извлеченные значения среднего углового момента $\langle J \rangle$ приведены в таблице. Здесь σ_N - сечение заселения уровня с большим спином, σ_L - сечение заселения уровня с малым спином, $\langle J \rangle$ выражается в единицах \hbar .

Из данных, представленных в таблице, следует, что угловые моменты осколков деления с ростом A увеличиваются. Наблюдается также явный эффект для нечетного №р. В среднем величины $\langle J \rangle$ для осколков при фотоделении ^{237}Np на $0,7 \hbar$ больше, чем для ^{238}U . В то же время $\langle J \rangle$ для легкого осколка ^{84}Br на $2 \hbar$ меньше, чем для тяжелых осколков. Отметим, что подобное поведение наблюдается и при (n, f) -реакции [10]. Это, вероятно, связано с тем, что тяжелый осколок La, образованный в том же акте деления, что и ^{84}Br , имеет большую деформацию и, следовательно, большую величину $\langle J \rangle$. С учетом сохранения момента в полной системе легкие осколки будут иметь меньший угловой момент.

Из полученных величин средних угловых моментов резко выпадает величина $\langle J \rangle$ для ^{135}Xe . Необходимо отметить, что измеренная величина σ_m/σ_g для этого ядра наиболее надежна, поскольку измерения проводились в двух режимах – со временами задержки (t_3) 1,5 и 200 мин с одной и той же мишенью. Из измерений с $t_3 = 200$ мин с высокой точностью было определено соотношение γ_{526} и γ_{1260} кэВ ^{135}I и по гамма-линиям из распада ^{133}I с точностью $< 2\%$ определена эффективность для γ_{249} кэВ ^{135}Xe . Затем эти данные использовались для измерения с $t_3 = 1,5$ мин. Расчет σ_m/σ_g для ^{135}Xe проводился в два этапа. Из экспозиции с $t_{\text{обл}} = 60$ мин была определена величина $\sigma_{^{135g}\text{Xe}}/\sigma_{^{135}\text{I}}$, а из экспозиции с $t_{\text{обл}} = 10$ мин была определена величина $\sigma_{^{135g}\text{Xe}}/\sigma_{^{135}\text{I}}$. Статистическая точность таких измерений составила 5 %. Поэтому делаем вывод, что столь малые значения $\langle J \rangle$ для ^{135}Xe имеют физическую природу. В данном случае большую роль играет угловой момент легкого ядра – ^{108}Sr , а с учетом вылета нейтронов, вероятнее всего, образуется ^{102}Sr с $Z = 38$ и $N = 64$. Это ядро может иметь значительную деформацию, что приводит к большим величинам $\langle J \rangle$ и, следовательно, к малым средним угловым моментам для тяжелого осколка. Отметим, что в (n, f)-реакции [10] также наблюдалось резкое уменьшение σ_m/σ_g именно для ^{135}Xe .

Интересные результаты, на наш взгляд, получены для ^{129}Sb . Большая величина спина изомера ($19/2^-$) при столь низких энергиях возбуждения приводит к нестандартному поведению зависимости σ_m/σ_g от спина. На рис. 4 приведен результат расчетов с учетом вылета различного числа нейтронов.

Изомерное отношение

Рис. 4. Зависимость изомерного отношения от углового момента осколка ^{129}Sb .

Как видно, эта зависимость очень чувствительна к форме распределения осколков после деления. К сожалению, данные о схеме распада ^{129m}Sb противоречивы. В таблице данных [11] указывается основной гамма-переход с энергией 760 кэВ и выходом 85 %. В то же время из схемы уровней следует, что γ_{760} кэВ является двойной линией, образованной каскадными гамма-переходами 760 и 758 кэВ. В первом варианте $\sigma_m/\sigma_g = 0,41 \pm 0,04$, во втором – $\sigma_m/\sigma_g = 0,20 \pm 0,02$. Наши расчеты указывают, что более вероятным является второй вариант. При этом $\langle J \rangle = 12,7 \pm 0,7 \hbar$.

Данная работа выполнена при поддержке гранта INTAS-2000-00463.

СПИСОК ЛІТЕРАТУРИ

1. Vandenbosch R., Huizenga J.R. // Nuclear Fission. - NY.: Academic, 1973.
2. Hoffman M.M. // Phys. Rev. - 1964. - Vol. B714. - P. 133.
3. Pleasonton F., Ferguson R.L., H.W. Schmitt // Phys. Rev. - 1972. - Vol. C6. - P. 1023.
4. Wilhelmy B., Cheifetz E., Jared R. et al. // Phys. Rev. - 1972. - Vol. C5. - P. 2041.
5. Warhanek H., Vandenbosch R. // J. Inorg. Nucl. Chem. - 1964. - Vol. 26 - P. 669.
6. Nix J.R., Swiatecki W.J. // Nucl. Phys. - 1965. - Vol. 71 - No. 1.
7. Denschlag H.O., Braun H., Faubell W., et al. // Proceeding of the International Symposium on the Physics and Chemistry of Fission. Julich, 1979. - Vol. II. - P. 53.
8. Bocquet P., Schussler F., Monnand E., Sistemich K. // Ibid. - P. 179.
9. Fujiwara I., Imanishi N., Nishi T. // J. Phys. Soc. Jap. - 1980. - Vol. 51. - P. 1713.
10. Вишневський І.Н., Денисов В.Ю., Желтоножський В.А. и др. Средние угловые моменты фрагментов деления // Ядерная физика. - 1998. - Т. 61, № 9. - С. 1562.
11. Table of Isotopes // Ed. R.B. Firestone. - NY: J. Wiley and Sons, 1996.
12. Бесшайко О.А., Ермоленко Р.В., Каденко И.Н. и др. Аналіз фотоядерних реакцій з застосуванням кода Empire II // Тез. докл. на LIII Міжнародн. Совещ. по ядерній спектроскопії та структурі атомного ядра. - Санкт-Петербург, 2003. - С. 183.
13. Madland D.G. Theory of neutron emission in fission. // Nuclear Reaction Data and Nuclear Reactors: - Proc. of the Workshop ICTP (Trieste, Italy, 23 Feb. - 27 March 1998). - Singapore: World Scientific, 1999.
14. Caldwell J.T., Dowdy E.J., Alvarez R.A. et al. Experimental Determination of Photofission Neutron Multiplicities for ^{235}U , ^{236}U , ^{238}U and ^{235}Th Using Monoenergetic Photons. // Nucl. Sci. Eng. - 1980. - Vol. 73. - P. 153.

ВИВЧЕННЯ ІЗОМЕРНИХ ВІДНОШЕНЬ НА ЯДРАХ-ПРОДУКТАХ**ФОТОПОДІЛУ ^{238}U ТА ^{237}Np** **О. А. Безшийко, І. М. Вишневський, В. О. Желтоножський, І. М. Каденко, В. М. Мазур,****В. А. Плюйко, М. В. Стрільчук**

Експериментально визначено ізомерні відношення для ядер ^{84}Br , ^{129}Sb , ^{130}Sb , $^{132,133}\text{Te}$, ^{132}Sb , ^{134}I , ^{135}Xe , що утворились у результаті поділу ^{238}U і ^{237}Np гамма-квантами гальмівного спектра мікротрона М-30 з максимальною енергією 16 MeV. Розраховано середні кутові моменти ядер-продуктів поділу з використанням коду EMPIRE II.

ISOMERIC RATIO STUDY OF PHOTOFISSION FRAGMENTS OF ^{238}U AND ^{237}Np

**O. A. Bezshyyko, I. N. Vishnevsky, V. A. Zheltonozhsky, I. M. Kadenko, V. M. Mazur,
V. A. Plujko, N. V. Strilchuk**

Isomeric ratios for ^{84}Br , ^{129}Sb , ^{130}Sb , $^{132,133}\text{Te}$, ^{132}Sb , ^{134}I and ^{135}Xe nuclei produced in photofission reactions when ^{237}Np and ^{238}U were irradiated by Bremsstrahlung spectrum of M-30 Microtron with the maximal electron energy of 16 MeV have experimentally been obtained. Mean angular momenta of photofission products have been calculated using EMPIRE II code.

Поступила в редакцію 14.05.04,

после доробки – 21.07.04.

ІДІАСФІРНІ ВІДНОШЕННЯ ІЗОМЕРІЙ ФАРГМЕНТІВ ДЕЛЕННЯ

На рис. 1A – 1E зображено прямі лінії, що відповідають залежності між кутовими моментами ядер-фрагментів, які утворилися у результаті фотоядерного деління ядер ^{238}U і ^{237}Np гамма-квантами гальмівного спектра мікротрона М-30 з максимальною енергією 16 MeV. На рисунках зображені залежності між кутовими моментами ядер-фрагментів ^{84}Br , ^{129}Sb , ^{130}Sb , $^{132,133}\text{Te}$, ^{132}Sb , ^{134}I та ^{135}Xe . На рисунках зображені залежності між кутовими моментами ядер-фрагментів ^{84}Br , ^{129}Sb , ^{130}Sb , $^{132,133}\text{Te}$, ^{132}Sb , ^{134}I та ^{135}Xe .

ПО-ВІДОМУ, ІЗОМЕРНІ ВІДНОШЕННЯ